

где  $L = H(\operatorname{tg} \beta \operatorname{ctg} \theta - 1)$ ;  $H$  — высота клина. Из полученного соотношения видно, что краевые эффекты значительно искажают характер поведения коэффициента эрозии при его осреднении, так как  $u_\infty$  и  $\theta$  влияют на значение  $\eta(\xi)$  в краевой точке  $\xi = L$  (фиг. 5, линии 1—3 соответствуют  $n = 0; 0,5; 1$ ). Таким образом, измерения необходимо проводить либо на очень длинных клиньях ( $L \gg l_p$ ), либо на коротких ( $L \ll l_p$ ).

Как следует из результатов, приведенных на фиг. 3, *a, б*, клин затупляется при эрозии. Угол наклона поверхности клина в окрестности передней кромки определяется из соотношения  $\operatorname{tg} \theta_1 = \operatorname{tg} \theta \left[ 1 + \frac{x_0 t}{l_p} (2 + \varepsilon) \times \right.$

$\left. \times (\operatorname{tg} \beta - \operatorname{tg} \theta) \right]$ . Возмущение параметров газового потока будет мало, если  $\theta_1 - \theta \ll \theta$ . Это имеет место при условии  $\tau = x_0 t / l_p \ll 1$ , поэтому погрешность линейной теории имеет порядок  $O(\tau^2)$ . Уравнение (3.4), таким образом, имеет вид

$$h(y, t) = h(y, 0) + [l_p(1 - \eta)^3 / (1 - (1 - \varepsilon)\eta)]\tau + l_p O(\tau^2),$$

где явным образом указана точность использованного приближения.

Поступила 6 X 1981

#### ЛИТЕРАТУРА

1. Grant G., Tabakoff W. Erosion prediction in turbomachinery from environmental solid particles.— J. Aircraft, 1975, vol. 12, p. 471.
2. Шелдон Г. Л., Маджи Я., Кроу С. Т. Эрозия трубы в газовом потоке, содержащем частицы.— Теоретические основы инженерных расчетов, 1977, № 2.
3. Laitone J. A. Erosion prediction near a stagnation point resulting from aerodynamically entrained solid particles.— J. Aircraft, 1979, vol. 16, p. 809.
4. Рафиков Р. В., Зауличный Е. Г. и др. Численное исследование двухфазного течения в осесимметричном канале с учетом реальных механизмов разрушения его стенок.— Изв. СО АН СССР. Сер. техн. наук, 1981, № 3, вып. 1.
5. Marble F. Dynamics of dusty gases.— In: Ann. Rev. of Fluid Mech. Vol. 2. N. Y., 1970.
6. Wakeman T., Tabakoff W. Erosion behavior in a simulated jet engine environment.— J. Aircraft, 1979, vol. 16, p. 828.
7. Шелдон Г. Л. Сходства и различия в эрозионном поведении материалов.— Теоретические основы инженерных расчетов, 1970, № 3.
8. Полежаев Ю. В. Процесс установления эрозионного разрушения материала преграды при многократном соударении частицами.— ИФЖ, 1979, т. 37, № 3.
9. Bruyan G. M., Pugh E. M. Cratering of lead oblique impacts of hypervelocity steel pellets.— J. Appl. Phys., 1962, vol. 33, N 2.
10. Лойцянский Л. Г. Механика жидкости и газа. М.: Наука, 1978.
11. Салтанов Г. А. Сверхзвуковые двухфазные течения. Минск: Высшая школа, 1972.

УДК 532.529.5

### О СТАЦИОНАРНЫХ РЕШЕНИЯХ УРАВНЕНИЙ ДВИЖЕНИЯ ЖИДКОСТИ С ПУЗЫРЬКАМИ ГАЗА

С. И. Плаксин  
(Новосибирск)

Известно, что жидкость с пузырьками газа является примером нелинейной диспергирующей среды, существование стационарных возмущений в ней обусловлено взаимной компенсацией нелинейных и дисперсионных эффектов. При этом нелинейность газожидкостной смеси определяется гидродинамической нелинейностью, нелинейностью колебаний пузырьков и уравнения состояния жидкого компонента среды. Сжимаемость смеси зависит от сжимаемости ее жидкого и газового компонентов. В [1—3] получены стационарные решения системы уравнений для двухфазной среды, включающей нелинейное уравнение второго порядка типа уравнения Рэлея для одиночной полости. В этих работах предполагалось, что движение пузырьков относительно жидкости отсутствует, а их число в единице объема смеси постоянно. Кроме того, в [2] уравнения гидродинамики линейны, в [1] жидкий компонент среды несжимаем.

В данной работе получены стационарные решения полной системы нелинейных уравнений движения жидкости с пузырьками газа при единственном предположении: движение пузырьков относительно жидкости отсутствует. Дан их качественный анализ и выяснено влияние одновременного учета сжимаемости жидкого компонента среды и гидродинамической нелинейности.

Распространение волн в жидкости с пузырьками газа рассматривается в рамках двухфазной модели, предложенной в [4, 5]. Согласно этой модели, движение двухфазной среды с точностью до первого порядка по объемной концентрации газа  $k$  описывается уравнениями сохранения массы, импульса, числа пузырьков и энергии. Эти уравнения в одномерном случае можно представить в виде

$$(1) \quad \begin{aligned} \bar{\rho}/\partial t + \partial(\bar{\rho}u)/\partial x &= 0, \quad \partial(\bar{\rho}u)/\partial t + \partial(p + \bar{\rho}u^2)/\partial x = 0, \\ \partial N/\partial t + \partial(Nu)/\partial x &= 0, \quad \bar{\rho} = (1 - k)\rho, \quad k = 4\pi NR^3/3, \\ Rd^2R/dt^2 + (3/2)(dR/dt)^2 &= [p_0(R_0/R)^{3\gamma} - p]/\rho(p_0), \end{aligned}$$

где  $\bar{\rho}$ ,  $u$ ,  $p$  — плотность, скорость и давление среды;  $\rho$  — плотность жидкого компонента среды;  $p_0$ ,  $c_0$  — равновесные значения давления и скорости звука в чистой жидкости;  $R_0$ ,  $k_0$  — равновесные значения радиуса пузырька и объемной концентрации газа;  $R$  — текущий радиус пузырька;  $N$  — число пузырьков в единице объема;  $\gamma$  — показатель адиабаты для газа в пузырьке;  $d/dt = \partial/\partial t + u\partial/\partial x$ .

Введем безразмерные переменные  $t' = t\omega_0$ ,  $x' = x\omega_0/c_0$ ,  $u = u'c_0$ ,  $p = p'\rho_0c_0^2$ ,  $p_0 = p_0'\rho_0c_0^2$ ,  $V = (R/R_0)^3$ ,  $\bar{\rho} = \bar{\rho}'\rho_0$ ,  $\omega_0^2 = 3\gamma p_0/\rho_0R_0^2$ ,  $\rho_0 = \rho(p_0)$  (в дальнейшем штрихи опускаем). При этом уравнение Тэта [6] принимает вид  $p - p_0 = (\rho^n - 1)/n$ , где  $n$  — показатель адиабаты для жидкости. Такой подход дает возможность при  $n = 1$  получить линейное уравнение состояния, т. е. рассмотреть акустическое приближение. При  $n = 7,15$  имеем нелинейное уравнение состояния жидкости. Систему уравнений (1) ввиду наличия в ней нелинейных конвективных членов удобно рассматривать в лагранжевых координатах. Эта система после перехода к массовой лагранжевой координате  $\xi$  принимает вид

$$(2) \quad \bar{\rho}/\partial t + \bar{\rho}^2\partial u/\partial \xi = 0, \quad \partial u/\partial t + \partial p/\partial \xi = 0;$$

$$(3) \quad \partial k/\partial t + k\bar{\rho}\partial u/\partial \xi = (3k/R)\partial R/\partial t, \quad \bar{\rho} = (1 - k)\rho;$$

$$(4) \quad \partial^2 V/\partial t^2 - (V^{-1}/6)(\partial V/\partial t)^2 = V^{1/3}(V^{-\gamma} - p/p_0)/\gamma.$$

Будем рассматривать стационарные решения системы (2)–(4), т. е. решения, зависящие от  $\eta = \xi - ct$ , где  $c$  — некоторая постоянная, равная скорости (в единицах  $c_0$ ) перемещения искомого возмущения в среде. Для стационарных решений из (2), (3) следуют уравнения, связывающие все искомые величины с объемом пузырька  $V$ :

$$(5) \quad c(u - u_e) = p - p_e, \quad k = m\rho V/(1 + m\rho V);$$

$$(6) \quad p/c^2 + (1 + n(p - p_0))^{-1/n} = B - mV,$$

где  $u_e$ ,  $p_e$ , а также  $k_e$ ,  $V_e$  — заданное состояние среды при некотором фиксированном значении  $\eta = \eta_e$ . Значения величин  $m$  и  $B$ , вычисленные по заданному состоянию среды, равны  $m = k_e/((1 - k_e)V_e\rho_e)$ ,  $B = p_e/c^2 + 1/\rho_e + k_e/((1 - k_e)\rho_e)$ , где  $\rho_e = (1 + n(p_e - p_0))^{1/n}$ . Отметим, что  $m$  и  $B$  на фиксированном решении являются постоянными, т. е. значения этих величин, вычисленные по состояниям среды в произвольных точках установившейся волны, соответствующей этому решению, совпадают. Соотношения (5), (6) определяют для стационарных решений множество возможных состояний среды, в которые может перейти заданное состояние.

Функция  $V(p)$ , определяемая уравнением (6), имеет при  $p = p_m$ , где  $p_m = p_0 + (c^{2n/(n+1)} - 1)/n$ , максимум  $V_m$ , причем  $dV/dp < 0$  при  $p > p_m$  и  $dV/dp > 0$  при  $p < p_m$ . Обратная функция  $p(V)$  определена при  $0 < V \leq V_m$  и имеет две ветви: правую и левую, на которых соответственно  $p \geq p_m$  и  $p \leq p_m$ . Величина  $p_e$  определяет ветвь функции  $p(V)$ , на кото-

рой находится заданное состояние среды. Для линейного уравнения состояния жидкости ( $n = 1$ ) эта функция имеет явный вид

$$p(V) = p_0 + (\rho_e + c^2/\rho_e - c^2 m(V - V_e) \pm \sqrt{(\rho_e + c^2/\rho_e - c^2 m(V - V_e))^2 - 4c^2 - 2})/2,$$

причем правой ветви соответствует знак плюс, а левой — минус. Сравним нелинейную зависимость  $V(p)$  (6), соответствующую акустическому приближению для жидкого компонента среды, с аналогичными зависимостями, полученными в [1—3]. Уравнения гидродинамики в [1] нелинейны, а жидкий компонент среды является несжимаемым. В этом случае связь  $V$  с  $p$  является линейной, причем для всех значений  $c$   $dV/dp < 0$ . Если уравнения гидродинамики линейны, а жидкий компонент среды является сжимаемым, то, как показано в [2], связь  $V$  с  $p$  является тоже линейной. Зависимость объема пузырька от давления, аналогичная полученной в [2], следует из линейного уравнения (2) и имеет вид

$$(7) \quad V - V_e = (p - p_e)(c^2 - 1)/c^2 m.$$

В плоскости переменных  $p, V$  прямая (7) касается кривой (6) в точке  $(p_e, V_e)$  только при  $p_e = p_0$ . Для других значений  $p_e$  они пересекаются в этой точке. Пусть  $c^2 > 1$ . Тогда для  $p_e < p_m$  ( $c_e^2 < c^2$ ,  $c_e^2 = (1 + n(p_e - p_0))^{(n+1)/n}$ ) знаки производных  $dV/dp$  зависимостей (6), (7) при  $p = p_e$  совпадают. Если  $p_e \geq p_m$  ( $c_e^2 \leq c^2$ ), то знаки этих производных различны, т. е. в отличие от (7) в (6) с увеличением давления объем пузырька убывает. Аналогичное различие в поведении пузырька с изменением давления имеет место и для  $c^2 < 1$  при  $p_e \leq p_m$ . Для  $c^2 = 1$  не существует зависимости объема пузырька от давления (7), а также стационарных решений, отличных от тривиального, для которого  $\dot{V} = dV/d\eta = 0$ . В нелинейном случае стационарные решения могут существовать и при  $c^2 = 1$ . В отличие от [1, 2] при фиксированном значении скорости  $c$  знак производной  $dV/dp$  зависимости (6) может меняться, т. е. если существует стационарное решение, в котором  $p$  принимает значение больше и меньше  $p_m$ , то для этого решения с увеличением давления объем пузырька может как возрастать, так и убывать в зависимости от того,  $p < p_m$  или  $p > p_m$ . Кроме того, в отличие от [2] ограничение на величину объема пузырька  $V \leq V_m$  следует не из условия малости акустического числа Маха, а есть следствие нелинейности уравнений гидродинамики и сжимаемости жидкого компонента среды. Таким образом, сравнение (6) с аналогичными зависимостями  $V(p)$ , полученными в [1, 2], показывает, что учет гидродинамической нелинейности и сжимаемости жидкости может привести не только к количественным, но и к качественным изменениям стационарных решений. Отметим, что в [3] для стационарных решений получена связь  $V$  с  $p$  с учетом гидродинамической нелинейности и сжимаемости жидкости, рассматриваемой в акустическом приближении, однако, как и в [2], она является линейной и имеет вид (7).

Введем величины  $V' = V/V_e$ ,  $m' = mV_e$  (штрихи вновь опускаем). Из уравнения (4) для  $V(\eta)$  следует первый интеграл

$$(8) \quad V^{-1/3} \dot{V}^2 = \beta^2(U(V) + H),$$

где  $U(V) = -mp_0(V_e^{-\gamma}(V^{1-\gamma} - 1) + (\gamma - 1)(V - 1))/(\gamma - 1) + (p - p_e) \times (p + p_e - 2p_0)/2c^2 - [(p - p_0 + 1)(1 + n(p - p_0))^{-1/n} - (p_e - p_0 + 1)(1 + n(p_e - p_0))^{-1/n}]/(n - 1)$ ;

$\beta^2 = 2/c^2 m \gamma p_0 V_e^{2/3}$ ;  $H = \dot{V}_e^2/\beta^2$ ;  $\dot{V}_e = dV/d\eta$  при  $\eta = \eta_e$ ;

$p(V)$  определяется соотношением (6) (при  $n = 1$  последний член  $U(V)$  принимает вид  $-\ln(1 + p - p_0) + 1/(1 + p - p_0) - \ln(1 + p_e - p_0) - 1/(1 + p_e - p_0)$ ). Таким образом, изучение установившихся волн в жидкости с пузырьками газа сведено к исследованию решений уравнения (8). Выясним существование ограниченного решения этого уравнения при

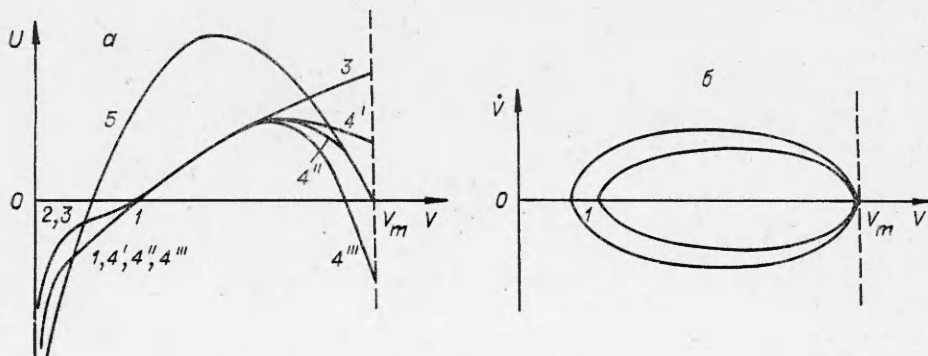
фиксированном значении  $c$  для заданного состояния среды  $p_e, V_e, k_e, \bar{V}_e$ . Правая часть уравнения (8) описывает семейство кривых, зависящих от параметров  $m, p_e, V_e, c, H$ . Решение (8) может существовать для тех участков кривых, для которых величина  $U(V) + H$  неотрицательна. Эту совокупность кривых будем изучать качественными методами. Для этого надо знать вид функции  $U(V)$  на интервале  $(0, V_m]$  в зависимости от параметров  $p_e, V_e, m, c$ . Эта функция, производная которой имеет вид

$$(9) \quad U'(V) = m(p_0 V_e^{-\gamma} V^{-\gamma} - p(V)),$$

обладает на рассматриваемом интервале следующими свойствами:  $U(1) = 0, U''(V) < 0$  для левой ветви  $p(V)$ , для правой ветви  $U''(V)$  с ростом  $V$  монотонно возрастает от  $-\infty$  до  $\infty$ . Найдем условия, при которых в точке  $(p_m, V_m)$  плоскости переменных  $p, V$  происходит переход с одной ветви функции  $p(V)$  на другую. В отличие от стремления к простому корню непостоянное решение уравнения (8) стремится к значению двойного корня функции  $U(V) + H$  только асимптотически при  $\eta \rightarrow \infty$  или при  $\eta \rightarrow -\infty$ . Чтобы максимальное значение объема пузырька  $V_m = V(\eta_m)$  было равно точному значению непостоянного интеграла (8), необходимо  $U(V_m) + H = 0$ . Раскрывая неопределенность  $(U(V_m) + H)/(dV(p_m)/dp)^2$ , находим, что  $\bar{V}^{-2}/\bar{p}^2$  стремится к величине  $-\beta^2 m c^{2(2n+1)/(n+1)} U'(V_m)/(2n+2)$  при  $\eta \rightarrow \eta_m (V \rightarrow V_m, p \rightarrow p_m)$ . Поэтому, если  $V_m$  — простой корень ( $U'(V_m) < 0$ ), то в момент  $\eta = \eta_m$  в точке  $(p_m, V_m)$  плоскости переменных  $p, V$  происходит переход с одной ветви функции  $p(V)$  на другую. При этом  $\bar{V}(\eta)$  непрерывна при  $\eta = \eta_m$ , так как пределы  $U'(V)$  при стремлении  $V$  к  $V_m$  по левой и правой ветвям совпадают. Если  $V_m$  — двойной корень ( $U'(V_m) = 0$ ), то  $V \rightarrow V_m, p \rightarrow p_m, \bar{p} \rightarrow 0$  асимптотически при  $\eta \rightarrow \eta_m, \eta_m = \infty$  или  $\eta_m = -\infty$ .

Очевидно, что  $U'(1) > 0$  при  $p_e \leq 0, 0 < V_e < \infty$ . Кроме того, для любого фиксированного значения  $p_e > 0$  существует единственное  $\bar{V}_e$  такое, что  $U'(1) > 0$  при  $V_e < \bar{V}_e, U'(1) = 0$  при  $V_e = \bar{V}_e$  и  $U'(1) < 0$  при  $V_e > \bar{V}_e$ . Для изучения функции  $U(V)$  удобно все множество параметров  $p_e, \bar{V}_e$  разбить на подмножества:  $p_e \leq 0, 0 < V_e < \infty; p_e > 0, V_e > \bar{V}_e; p_e > 0, V_e = \bar{V}_e; p_e > 0, V_e < \bar{V}_e$ . При этом фиксированное значение  $k_e$  является произвольным в рамках ограничений рассматриваемой модели. Ветвь функции  $p(V)$ , соответствующая заданному состоянию среды, определяется соотношением между величинами  $c^2$  и  $c_e^2$ . Поэтому качественный вид функции  $U(V)$  для заданных величин  $p_e, V_e$  будем изучать в трех случаях, которые соответствуют следующим изменениям  $c^2 : c^2 < c_e^2, c^2 = c_e^2, c^2 > c_e^2$ . Перейдем к рассмотрению указанных выше множеств параметров  $p_e, V_e$ .

Пусть  $p_e \leq 0, 0 < V_e < \infty$ , т. е.  $U'(1) > 0$ . Пользуясь свойствами  $U(V)$ , убеждаемся, что для рассматриваемого множества  $p_e, V_e$  качествен-



Ф и г. 1

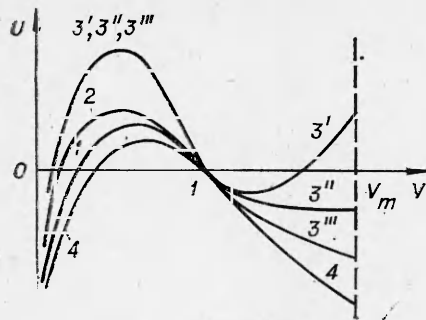


Ф и г. 2

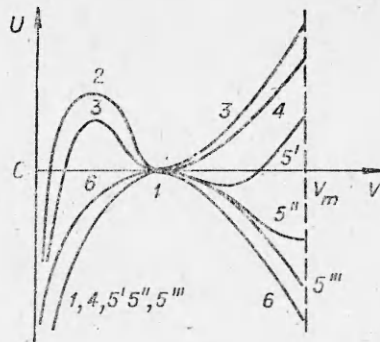
ный вид этой функции будет таким, каким он изображен на фиг. 1, а. Кривые 1, 2 соответствуют левой и правой ветвям  $p(V)$  для  $c^2 = c_e^2$ , причем  $0 < V \leq 1$ ,  $V_m = 1$ . Для  $c^2 < c_e^2$  при  $1 \leq V \leq V_m$   $U'(V) > 0$ , так как при  $p_m \leq p \leq p_e$  имеет место очевидное неравенство  $p_0 V_e^{-\gamma} V^{-\gamma} - p > 0$ .

График  $U(V)$  для  $c^2 < c_e^2$  показан кривой 3. При  $c^2 > c_e^2$  вид  $U(V)$  в зависимости от значения  $\dot{c}$  показан кривыми 4', 4'', 4'''. Для  $c^2 > c_e^2$  связь  $V$  с  $p$  осуществляется левой ветвью  $p(V)$ , для которой  $U''(V) < 0$ . Поэтому для существования решения (8) достаточно, чтобы  $U_1(c^2) = U(V_m(c^2)) \leq 0$ . Вид этой функции, производная которой  $dU_1/dc^2 = (c_e^{2n/(n+1)} - c^{2n/(n+1)}) \times [2p_0(1 - V_e^{-\gamma} V^{-\gamma}) + (c_e^{2n/(n+1)} + c^{2n/(n+1)} - 2)/n] / 2nc^4$ , схематично изображен на фиг. 2, а. Можно показать, что для заданного состояния  $p_e, V_e, k_e$  существует единственное значение  $c_1^2 > (1 - np_0)^{(n+1)/n}$  такое, что при  $c^2 \geq c_1^2$  имеет место неравенство  $U(V_m(c^2)) \leq 0$ . Таким образом, при  $c^2 < c_1^2$  для рассматриваемых величин  $p_e, V_e, k_e$  и произвольных значений  $\dot{V}_e(H)$  решения уравнения (8) не существует. При любом фиксированном значении  $c^2 \geq c_1^2$  область допустимых значений  $H$ , при которых для заданных величин  $p_e, V_e, k_e$  существует решение (8), определяется неравенством  $0 \leq H \leq -U_1(c^2)$ . При  $0 \leq H < -U_1(c^2)$  решение (8) является периодическим, причем связь  $V$  с  $p$  осуществляется левой ветвью  $p(V)$ . Качественный вид этого решения показан на фиг. 2, б. При  $H = -U_1(c^2)$ , ввиду того что  $U'(V_m) < 0$ , в плоскости переменных  $p, V$  происходит переход с одной ветви  $p(V)$  на другую. При этом в фазовой плоскости (см. фиг. 1, б) в точке  $V = V_m, \dot{V} = 0$  происходит переход с одной фазовой траектории, соответствующей одной из ветвей  $p(V)$ , на другую фазовую траекторию, которая соответствует другой ветви. График  $U(V)$ , для которой связь  $V$  с  $p$  осуществляется правой ветвью  $p(V)$ , показан на фиг. 1, а кривой 5. При  $H = -U_1(c^2)$  решение тоже является периодическим. Вид этого решения схематично изображен на фиг. 2, в. Для этого решения в отличие от решения, приведенного на фиг. 2, б, характерно то, что захлопывание и расширение пузырька в течение периода происходят дважды. Одно из захлопываний происходит в момент максимального давления в среде, а второе — в фазе разрежения в силу инерционных свойств присоединенной массы пузырька. Таким образом, для  $p_e \leq 0, 0 < V_e < \infty$  и произвольных значений  $k_e, \dot{V}_e$  решения (8) при  $c^2 \leq (1 - np_0)^{(n+1)/n}$  не существует. Отсюда следует, что для стационарных решений, скорости которых  $c^2 \leq (1 - np_0)^{(n+1)/n}$ , давление удовлетворяет неравенству  $p - p_0 > -p_0$ , минимальная величина звукового давления в среде, по которой распространяются стационарные возмущения со скоростями из указанного диапазона, равна  $-p_0$ .

Пусть  $p_e > 0, V_e > \bar{V}_e$ , т. е.  $U'(1) < 0$ . Для данного множества параметров  $p_e, V_e$  вид  $U(V)$  показан на фиг. 3. Кривые 1, 2 соответствуют левой и правой ветвям  $p(V)$  для  $c^2 = c_e^2$ . Решение для этого значения скорости существует при  $H = 0$ , при этом  $V_m = 1$ . Вид его качественно совпадает с решением, изображенным на фиг. 2, в. Для  $c^2 < c_e^2$  вид  $U(V)$  показан в зависимости от значения  $c$  кривыми 3', 3'', 3'''.



Ф и г. 3



Ф и г. 4

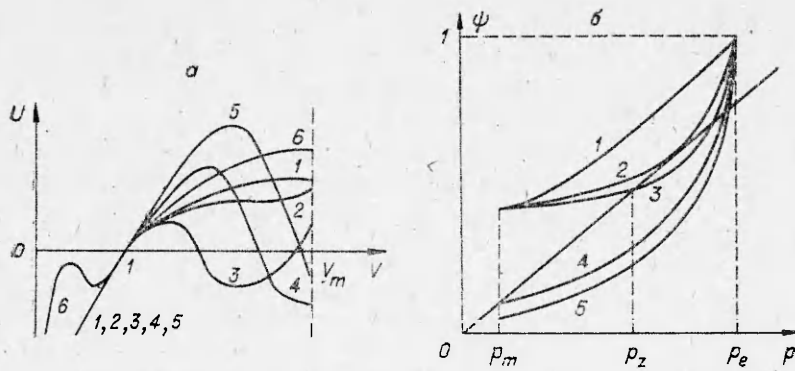
$U(V)$  видно, что для тех  $c$ , при которых  $U'(V_m(c^2)) \geq 0$  (кривые  $3', 3''$ ), существует единственное значение  $V_1 \in (1, V_m]$  такое, что  $U'(V_1) = 0$ . Для этих значений  $c$  при  $0 \leq H < -U(V_1)$  решение (8) является периодическим, качественно совпадающим с изображенным на фиг. 2, б. При  $H = -U(V_1)$  решение имеет вид солитона (фиг. 2, г). При  $H > -U(V_1)$  уравнение (8) для указанных значений  $c$  решения не имеет. Для значений  $c$ , при которых  $U'(V_m(c^2)) < 0$  (кривая  $3'''$ ), при  $0 \leq H < -U(V_m)$  ( $H = -U(V_m)$ ) решение является периодическим, качественно совпадающим с изображенным на фиг. 2, б, (фиг. 2, в). Для  $c^2 > c_e^2$  вид  $U(V)$  показан кривой 4. Для этих значений  $c$  при  $0 \leq H < -U(V_m)$  ( $H = -U(V_m)$ ) решение является периодическим, схематичный вид его приведен на фиг. 2, б (фиг. 2, в).

Пусть  $p_e > 0$ ,  $V_e = \bar{V}_e$ , т. е.  $U'(1) = 0$ . Для этого множества параметров  $p_e, V_e$  вид  $U(V)$  приведен на фиг. 4. Отметим, что для рассматриваемых значений  $p_e, V_e$  правая часть уравнения (4) равна нулю. Кривые 1, 2 соответствуют левой и правой ветвям  $p(V)$  для  $c^2 = c_e^2$ . Решение, отвечающее правой ветви, является солитоном, качественно совпадающим с изображенным на фиг. 2, г. При этом  $\eta_e = \infty$  или  $\eta_e = -\infty$ ,  $H = 0$ . Решение, отвечающее левой ветви, не существует. Для  $c^2 < c_e^2$  вид  $U(V)$  в зависимости от значения  $c$  показан кривыми 3, 4, 5', 5'', 5'''. При  $c_*^2 < c^2 < c_e^2$ ,  $c_*^2 = \gamma p_e c_e^2 / (\gamma p_e + m c_e^2)$  ( $U''(1) > 0$ , кривая 3) решение является солитоном, причем  $H = 0$ ,  $\eta_e = \infty$  или  $\eta_e = -\infty$ . Для  $c^2 = c_*^2$  ( $U''(1) = 0$ , кривая 4) решения не существует. При  $c^2 < c_*^2$  ( $U''(1) < 0$ , кривые 5', 5'', 5''') решение существует при  $H > 0$ . Дальнейшее исследование при  $c^2 < c_*^2$  проводится аналогично случаю  $p_e > 0$ ,  $V_e > \bar{V}_e$  (кривые  $3', 3'', 3'''$  на фиг. 3). Для  $c^2 > c_e^2$  (кривая 6) решение при  $0 < H < -U(V_m)$  ( $H = -U(V_m)$ ) является периодическим, качественно совпадающим с изображенным на фиг. 2, б (фиг. 2, в).

Пусть  $p_e > 0$ ,  $V_e < \bar{V}_e$ , т. е.  $U'(1) > 0$  ( $V_e^\gamma p_e / p_0 < 1$ ). Исследование существования решения для  $c^2 \geq c_e^2$  проводится аналогично случаю  $p_e \leq 0$  (кривые 1, 2, 4', 4'', 4''', фиг. 1, а). При  $c^2 < c_e^2$  вид  $U(V)$  показан на фиг. 5, а. Неравенство  $U'(V(p)) \geq 0$  эквивалентно неравенству

$$(10) \quad p V_e^\gamma / p_0 \leq \psi(p),$$

где  $\psi(p) = (1 + ((p_e - p)/c^2 + (1 + n(p_e - p_0))^{-1/n} - (1 + n(p - p_0))^{-1/n}) / m)^{-\gamma}$ , функция  $\psi(p)$  на интервале  $[p_m, p_e]$  монотонно возрастает. Кроме того,  $\psi(p_e) = 1$ ,  $\psi'(p_m) = 0$ ,  $\psi''(p) > 0$ . Если  $\psi'(p_e) \leq V_e^\gamma / p_0$ , то неравенство (10) справедливо для всех  $p \in [p_m, p_e]$ . Неравенство  $\psi'(p_e) \leq V_e^\gamma / p_0$  имеет место при  $c^2 \geq c_2^2$ ,  $c_2^2 = c_e^2 / (1 + m c_e^2 V_e^\gamma / \gamma p_0)$ . Для этих значений скорости вид  $U(V)$  показан кривой 6 на фиг. 5, а. Для рассматриваемых значений  $p_e, V_e$  при  $c_2^2 \leq c^2 < c_e^2$  решения не существует. Пусть  $c^2 < c_2^2$ , т. е.  $\psi'(p_e) > V_e^\gamma / p_0$ . Для фиксированного значения  $c$  производная



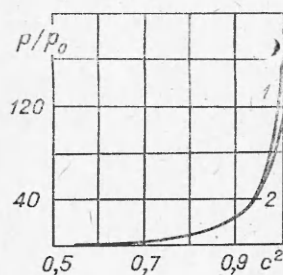
Ф и г. 5

$U'(V_m(c^2))$  может быть больше, равна или меньше нуля. Рассмотрим каждый из этих случаев. Пусть  $U'(V_m(c^2)) > 0$  ( $\psi(p_m) > p_m V_e^y/p_0$ ). В этом случае из свойств функции  $\psi(p)$  следует, что существует единственное значение  $p_\xi \in [p_m, p_e]$  такое, что  $\psi'(p_\xi) = V_e^y/p_0$ . Вид  $\psi(p)$  в зависимости от значений  $p_e, V_e, k_e$  показан на фиг. 5, б кривыми 1–3. Какая из этих кривых соответствует заданному состоянию среды, определяется соотношением между величинами  $\psi(p_\xi)$  и  $V_e^y p_\xi/p_0$ . Если  $\psi(p_\xi) \geq V_e^y p_\xi/p_0$ , то имеют место кривые 1, 2, которые лежат выше прямой  $p V_e^y/p_0$ . Тогда  $U'(V(p)) \geq 0$  на  $[1, V_m]$ , а вид  $U(V)$  соответствует кривым 1, 2 на фиг. 5, а. Решения в этом случае не существует. Если  $\psi(p_\xi) < V_e^y p_\xi/p_0$ , то имеет место кривая 3 (фиг. 5, б). В этом случае для существования решения необходимо определить знак  $U(V(p_z))$  (фиг. 5, б). Если  $U(V(p_z)) \leq 0$ , то при  $0 \leq H < -U(V(p_z))$  решение является периодическим (фиг. 2, б), а при  $H = -U(V(p_z))$  решение имеет вид солитона (фиг. 2, з). Вид  $U(V)$  в этом случае показан кривой 3 на фиг. 5, а. Если  $U(V(p_z)) > 0$ , то решения уравнения (8) не существует. Пусть  $U'(V_m(c^2)) = 0$  ( $\psi(p_m) = p_m V_e^y/p_0$ ). Вид  $U(V)$  и  $\psi(p)$  для этого значения показан на фиг. 5, а, б соответственно кривыми 4. Для существования решения достаточно, чтобы  $U(V_m(c^2)) \leq 0$ . При  $0 \leq H < -U(V_m)$  решение является периодическим (фиг. 2, б), а при  $H = -U(V_m)$  имеет место солитон (фиг. 2, з). Пусть  $U'(V_m(c^2)) < 0$  ( $\psi(p_m) < p_m V_e^y/p_0$ ). Для этих значений с вид функций  $U(V)$  и  $\psi(p)$  показан кривыми 5 соответственно на фиг. 5, а, б. Для существования решения достаточно  $U(V_m(c^2)) \leq 0$ . Тогда при  $0 \leq H < -U(V_m)$  ( $H = -U(V_m)$ ) решение качественно совпадает с изображенным на фиг. 2, б (фиг. 2, в).

Таким образом, можно определить существование и качественный вид стационарного возмущения с произвольной фиксированной скоростью для заданного состояния среды. При этом решение (8) для тех значений  $p_e, V_e, k_e, V_e$  и  $c$ , при которых оно существует, записывается в неявной форме:

$$\beta\eta - \beta\eta_e = \pm \int_1^V y^{-1/6} (U(y) + H)^{-1/2} dy.$$

В заключение необходимо отметить особенности решений, связанных с влиянием нелинейности уравнения состояния жидкого компонента среды. В плоскости переменных  $p, V$  кривые (6), соответствующие линейному и нелинейному уравнению состояния жидкости, не совпадают. В частности, значения  $p_m$  при  $c^2 \neq 1$  различны. Касательные к этим кривым в точке  $(p_e, V_e)$  имеют вид  $m(V - V_e) = ((1 + p_e - p_0)^{-2} - c^{-2})(p - p_e)$ ,  $m(V - V_e) = ((1 + n(p_e - p_0))^{-(n+1)/n} - c^{-2})(p - p_e)$ . Видно, что при  $p_e \neq p_0$  наклоны касательных различны. При  $c^2 = 1$  это различие наиболее существенно. Поэтому решения, полученные с учетом и без учета нелиней-



Фиг. 6

ности уравнения состояния жидкости, могут отличаться друг от друга. Так, на фиг. 6 приведена зависимость амплитуды солитона от квадрата его скорости ( $c_*^2 < c^2 \leq c_e^2$ ). Кривая 1 соответствует линейному уравнению состояния жидкости, кривая 2 — нелинейному. Равновесное состояние среды при  $\eta_e = \pm\infty$  имеет вид  $p_e = 2p_0$ ,  $V_e^{-\gamma} = p_e/p_0 = 2$ ,  $k_e = 10^{-4}$ ,  $V_e = 0$ ,  $\gamma = 1, 4$ ,  $p_0 = 10^5 \text{ Па}/\rho_0 c_0^2$ . Видно, что для солитонов, квадраты скорости которых меньше 0,9, амплитуды для линейного и нелинейного уравнений состояния жидкости совпадают. При  $c^2 > 0,9$  амплитуды существенно различны.

Таким образом, для одномерных стационарных возмущений получено точное решение нелинейных уравнений движения жидкости с пузырьками газа. При этом учет гидродинамической нелинейности и сжимаемости жидкого компонента среды приводит к расширению класса стационарных решений.

Автор выражает благодарность В. К. Кедринскому за постоянное внимание к работе и полезные обсуждения.

Поступила 28 XII 1981

#### ЛИТЕРАТУРА

1. Когарко Б. С. Одномерное неустановившееся движение жидкости с возникновением и развитием кавитации. — ДАН СССР, 1964, т. 155, № 4.
2. Гончаров В. В., Наугольных К. А., Рыбак С. А. Стационарные возмущения в жидкости, содержащей пузырьки газа. — ПМТФ, 1976, № 6.
3. Богуславский Ю. Я., Григорьев С. Б. О распространении волн произвольной амплитуды в газожидкостной смеси. — Акуст. журн., 1977, т. 23, № 4.
4. Иорданский С. В. Об уравнениях движения жидкости, содержащей пузырьки газа. — ПМТФ, 1960, № 3.
5. Иорданский С. В., Куликовский А. Г. О движении жидкости, содержащей мелкие частицы. — Изв. АН СССР. МЖГ, 1977, № 4.
6. Коул Р. Подводные взрывы. М.: ИЛ, 1950.

УДК 541.182 : 532.7 : 539.219.3

### ПРОБЛЕМА НЕСТАЦИОНАРНЫХ ЯВЛЕНИЙ ПЕРЕНОСА В МНОГОФАЗНЫХ СРЕДАХ

Ю. В. Первушин  
(Донецк)

Нестационарные явления переноса в многофазных средах во многом определяются кинетическими процессами на границах раздела. Простейшие идеализации, восходящие к временам Фурье и Фика, когда межфазовая кинетика задана граничными условиями типа

$$\partial n_i / \partial R = a_{ij}(n_i - n_j),$$

не в состоянии отразить основные черты процессов переноса, когда физические условия на поверхностях раздела существенно и быстро изменяются. Особенно это относится к задачам с подвижными границами, возникающим, например, при анализе кинетики фазовых превращений [1—5]. В сферическом варианте нестационарные эффекты заведомо обусловлены, в частности, лапласовским давлением, которое явно связано с законом движения границы ( $\sim 1/R(t)$ ).

Дадим вывод общего типа граничной кинетики, основываясь на процессе одномерного переноса фиксированного компонента вещества через границу раздела  $R$  двух сред (фаз), которая является поверхностью раз-